



УДК 547.918:547.914.4.057:615.214:615.(31+276.017+243.012.1)

СИНТЕЗ ТРИТЕРПЕНОВЫХ 2-ДЕЗОКСИ- α -D-ГЕКСОПИРАНОЗИДОВ НА ОСНОВЕ ГЛИКАЛЕЙ И ИХ ВЛИЯНИЕ НА РЕПАРАТИВНЫЕ ПРОЦЕССЫ

© 1997 г. Л. А. Балтина, О. Б. Флехтер[#], Е. В. Васильева, В. А. Давыдова,
А. Ф. Исмагилова, Ф. С. Зарудий, Г. А. Толстиков

Институт органической химии Уфимского научного центра РАН, 450054, Уфа, просп. Октября, 71

Поступила в редакцию 10.07.96 г. Принята к печати 16.12.96 г.

Осуществлен синтез тритерпеновых 2-дезокси- α -D-гексопиранозидов путем гликозилирования тритерпеновых спиртов олеананового ряда ацетатами D-глюкаля и D-галакталя в присутствии ди(симм-коллидин)иодония перхлората с последующим деиодированием и дезацетилированием полученных 2-дезокси-2-иод- α -D-гликозидов. 2-Дезокси- α -D-арабино- и -ликсо-гексопиранозиды метилового эфира глицерретовой кислоты обладают выраженной противоязвенной активностью и стимулируют репаративную регенерацию кожи крыс эффективнее глициризиновой кислоты и ментилурацила.

Ключевые слова: тритерпеновые 2-дезокси- α -D-гексопиранозиды, синтез, ди(симм-коллидин)иодония перхлорат, противоязвенная активность, репаративная регенерация кожи.

Природные тритерпеновые гликозиды известны своей высокой и разнообразной биологической активностью (антагрибковой, антивирусной, противоопухолевой, контрацептивной, иммуно-тропной и т.д.) [1, 2]. В последнее десятилетие значительно возрос интерес исследователей к синтезу тритерпеновых и стероидных гликозидов, моделирующих природные аналоги, в частности гликозиды лекарственных растений (женьшения, солодки) и сердечные гликозиды. Синтетические тритерпеновые 2-дезоксигексопиранозиды представляют интерес из-за структурной близости к природным гликозидам, позволяющей исследовать зависимость структура–активность.

Ранее нами был предложен стереоселективный синтез тритерпеновых 2-дезокси- α -D-гексопиранозидов на основе гликалей в присутствии NIS [3, 4]. Продолжая эти исследования, мы предложили для получения этих соединений в качестве донора ионов иодония использовать IDCP [5]. Это позволяет увеличить выход промежуточных 2-дезокси-2-иодгексопиранозидов примерно на 20% по сравнению с NIS-методом и сократить время реакции с 70 до 4–5 ч. Этот метод гликозилирования ранее был успешно применен Данишевским и сотр. [6] для синтеза ди- и трисахаридов с α -конфигурацией на основе гликалей.

Сокращения: NIS – N-иодсукцинимид, IDCP – ди(симм-коллидин)иодония перхлорат, CIA – глицерретовая кислота, GA – β -глициризиновая кислота.

[#]Автор для переписки (факс: (3-472) 35-60-66; e-mail: root@chemorg.bashkiria.su).

В качестве гликозил-доноров мы использовали ацетаты D-глюкаля (I) и D-галакталя (II), а в качестве спиртовых компонентов – биологически активные растительные тритереноиды из экстракта корней солодки голой и уральской (*Glycyrrhiza glabra* и *Gl. uralensis*) – 18 β -глицерретовую кислоту и ее 11-дезоксоаналог, преобразованные в соответствующие метиловые эфиры (IIIa) и (IIIb), а также аллобетулин (IVb), полученный из тритерпеновой фракции экстракта коры бересклета *Betula pendula*.

Гликозилирование проводили при температуре ~20°C в безводном хлористом метилене при эквимолярном соотношении гликала и спирта в течение 4–5 ч в присутствии молекулярных сит 4 Å и небольшого избытка IDCP. Протекание реакции контролировали ТСХ.

Как и следовало ожидать, взаимодействию ацетатов D-глюкаля и D-галакталя с тритерпеновыми спиртами (IIIa)–(IVb) в этих условиях свойствена высокая стереоселективность, что позволило продукты реакции – 2-дезокси-2-иодпроизводные с α -D-манно- (IVa)–(IVb) и α -D-тало-конфигурациями (VIIa)–(VIIb) выделить в индивидуальном состоянии хроматографией на колонках с силикагелем с выходом 73–81%.

Гидрогенолиз полученных 2-дезокси-2-иодгликозидов в присутствии 10% Pd/C и Et₃N по известной методике [4] привел с высоким выходом к деиодированным гликозидам (Va)–(Vb), (VIIa)–(VIIb), мягким дезацетилированием которых [4] с выходом 85–88% получили целевые модельные

Таблица 1. Противоязвенное действие 2-дезоксигексопиранозидов (VIa), (IXa)*

Препарат	Среднее число деструкций слизистой оболочки желудка, вызванных индометацином	P
(VIa)	9.8 ± 0.5	<0.001
(IXa)	8.3 ± 0.7	<0.001
Карбеноксолон	10.5 ± 0.5	<0.002
Контроль (вода)	1.5 ± 1.0	

* Количество животных в группе = 6. P – достоверность результатов.

тритерпеновые 2-дезокси- α -D-арабино- (VIa)–(VIB) и α -D-лико-гексопиранозиды (IXa)–(IXB).

Соединения (IV)–(IX) охарактеризованы спектральными методами и данными элементного анализа. Параметры спектров ^1H - и ^{13}C -ЯМР 2-дезокси- α -D-гликозидов (IV)–(VI) полностью совпадали с параметрами спектров ^1H - и ^{13}C -ЯМР гликозидов, полученных ранее NIS-методом [3, 4].

Изучено влияние 2-дезоксигликозидов (VIa), (IXa) на репаративную регенерацию слизистой оболочки желудка у крыс. В качестве препарата сравнения использовали известный противоязвенный препарат – карбеноксолон (кислая соль сукцинат глицериновой кислоты) [7].

Исследуемые соединения вводились животным через зонд в желудок в виде суспензии. Экспериментальные деструкции слизистой оболочки желудка вызывались введением индометацина (табл. 1).

Гликозиды (IVa) и (IXa) статистически достоверно снижают степень поражения слизистой оболочки желудка крыс. Противоязвенное действие 2-дезокси- α -D-лико-гексопиранозида (IXa) более выражено, чем у карбеноксолона и близкого к последнему по активности 2-дезокси- α -D-арабино-гексопиранозида (VIa).

Влияние 2-дезоксигексопиранозидов глицериновой кислоты (VIa) и (IXa) на репаративную регенерацию кожи крыс изучено на двух моделях кожных ран – послойные лоскутные раны и химический ожог. Соединения в виде 5% мазей на вазелине (табл. 2, 3) сравнивали с известными стимуляторами репаративной регенерации кожи – метилурацилом [8] и глицерризиновой кислотой – основным биологически активным ингредиентом экстракта солодкового корня. Гликозиды (VIa) и (IXa) оказались активнее как при заживлении лоскутных ран (табл. 2), так и при химическом ожоге, вызванном у крыс концентрированной кислотой (табл. 3).

Таким образом, модельные 2-дезокси- α -D-гексопиранозиды метилового эфира глицериновой кислоты (VIa), (IXa) обладают несомненной

Таблица 2. Влияние 2-дезоксигексопиранозидов (VIa), (IXa) на репаративную регенерацию кожи на модели лоскутных ран*

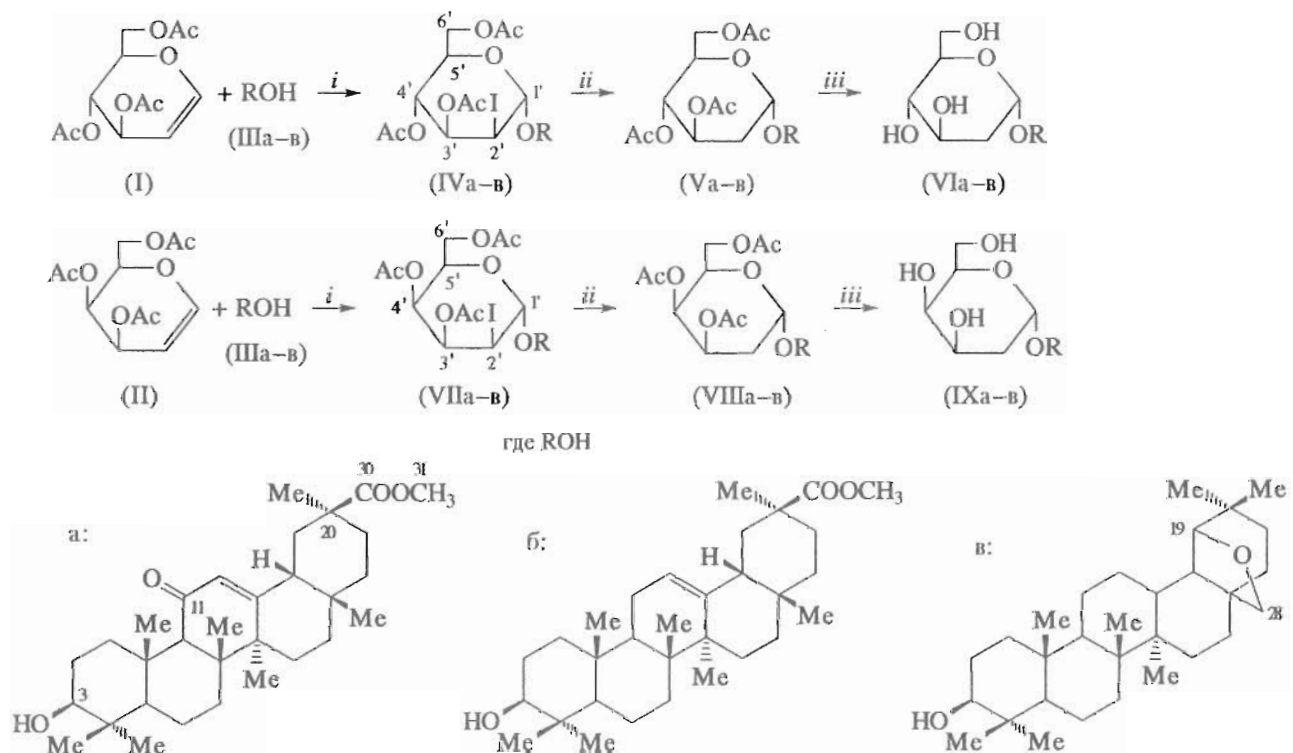
Препарат	Средняя площадь ран, мм^2				
	исходная	через 7 сут	P	через 15 сут	P
(VIa)	38.98 ± 1.33	25.9 ± 0.8	<0.002	5.0 ± 0.26	<0.001
(IXa)	38.2 ± 1.06	23.5 ± 1.3	<0.001	4.18 ± 0.26	<0.001
GA	38.99 ± 1.33	25.42 ± 1.33	<0.01	9.42 ± 1.0	<0.01
Метилурацил	39.9 ± 0.8	26.15 ± 0.8	<0.01	7.06 ± 0.8	<0.001
Контроль (вазелин)	38.7 ± 1.06	30.09 ± 0.8		14.39 ± 1.3	

* Количество животных в группе = 6.

Таблица 3. Влияние 2-дезоксигексопиранозидов (VIa), (IXa) на репаративную регенерацию кожных ран на модели химического ожога*

Препарат	Средняя площадь ран, мм^2				
	исходная	через 7 сут	P	через 15 сут	P
(VIa)	40.19 ± 0.8	24.1 ± 0.8	<0.05	4.71 ± 0.5	<0.001
(IXa)	40.1 ± 0.53	20.7 ± 0.8	<0.001	4.0 ± 0.27	<0.001
GA	39.56 ± 0.53	27.0 ± 1.06	<0.05	6.9 ± 0.27	<0.002
Метилурацил	38.6 ± 0.3	24.8 ± 0.53	<0.05	6.59 ± 0.3	<0.002
Контроль (вазелин)	38.3 ± 0.53	28.26 ± 0.53		11.9 ± 0.27	

* Количество животных в группе = 6.



Реагенты: *i*) IDCP, CH_2Cl_2 ; *ii*) H_2 , 10% Pd/C, Et_3N ; *iii*) 5% KOH/MeOH.

противоязвенной активностью и более эффективно стимулируют reparативную регенерацию кожи крыс, чем метилурацил и природный гликозид – GA.

ЭКСПЕРИМЕНТАЛЬНАЯ ЧАСТЬ

ТСХ проводили на пластинках Silufol (Chemapol, ЧСФР), используя системы растворителей: хлористый метилен – метанол, 10 : 1 (A); этилацетат – петролейный эфир, 2 : 1 (B); бензол – метанол, 1 : 3 (B). Вещества обнаруживали 20% раствором фосфорно-вольфрамовой кислоты в этаноле (96%) с последующим нагреванием при 100–120°C в течение 2–3 мин. Колоночную хроматографию проводили на силикагеле L (40/100 мкм; Chemapol, ЧСФР).

ИК-спектры снимали на спектрометрах Specord M80 и UR-20 в пасте с вазелиновым маслом. УФ-спектры записаны на спектрофотометрах Specord M40 и Shimadzu UV-365 в метаноле.

Спектры ^1H - и ^{13}C -ЯМР снимали на спектрометре Bruker AM-300 с рабочей частотой 300 и 75.5 МГц соответственно в CDCl_3 (внутренний стандарт – тетраметилсилан). Приведены химические сдвиги в миллионных долях (м. д.), КССВ – в герцах.

Температуры плавления определяли на микростолике Boetius. Оптическую активность измеряли на поляриметре Perkin-Elmer 241 MC в кювете длиной 1 дм. Хлористый метилен для синтезов перегоняли дважды над P_2O_5 . Молекулярные сита 4 Å прокаливали 3 ч при 180–190°C при давлении 1–5 мм рт. ст.

Три-O-ацетил-D-глюкаль (I) и три-O-ацетил-D-галакталь (II) получали по методике [9] из D-глюкозы и D-галактозы (СССР). Метиловый эфир 18 β -ГИА (IIIa) получали из GA [10]; метиловый эфир 11-дезоксо-18 β -ГИА (IIIb) получали восстановлением эфира (IIIa) [11]; аллобетулин (IIIc) синтезировали из бетулина, содержащегося в экстракте коры берес [12]. Ди(симм-коллидин)иодония перхлорат готовили по методике [13], содержание иода 25.5–27.0% (94–99% от теорет.). Данные элементного анализа соответствовали расчетным.

Тriterpenовые 2-дезокси- α -D-гексопиранозиды (IV)–(IX). А. Ацетат гликаля (2 ммоль) и эквимольное количество тритерпенового спирта растворяли в 50 мл безводного хлористого метиlena, прибавляли 0.54 г прокаленных молекулярных сит 4 Å, перемешивали 30 мин, затем прибавляли 1 г IDCP. Смесь перемешивали 4–5 ч с контролем ТСХ (система A), фильтровали, промывали 10% раствором $\text{Na}_2\text{S}_2\text{O}_3$ (20 мл × 2), сушили MgSO_4 и

упаривали. Остаток хроматографировали на колонке с силикагелем, получая гомогенные по ТСХ гликозиды (IVa)–(IVb), (VIIa)–(VIIb).

Б. Ацетилированный 2-дезокси-2-иодгексопиранозид (VIIa)–(VIIb) (0.6–1.1 ммоль) растворяли в 20–35 мл метанола, этанола или этилацетата, добавляли несколько капель триэтиламина и гидрировали гликозид в присутствии равного количества 10% Pd/C 8, 9 сут (при 1 атм). Катализатор отфильтровывали, растворитель отгоняли, остаток переосаждали или перекристаллизовывали и получали соединения (VIIa)–(VIIb). Получение соединений (Va)–(Vb) описано в работе [4].

В. Ацетилированный 2-дезоксигексопиранозид (VIIa)–(VIIb) (0.4 ммоль) растворяли в 50 мл метанола, добавляли 8 мл 5% раствора KOH в метаноле и перемешивали 4 ч при ~20°C с контролем ТСХ (система А). Смесь обрабатывали катионитом KU 2-8 (H⁺-форма), смолу отфильтровывали, фильтрат разбавляли 50 мл холодной воды и экстрагировали хлористым метиленом (10 мл × 3). Объединенные экстракты сушили Na₂SO₄ и упаривали в вакууме. Получали соединения (IXa)–(IXb), которые очищали переосаждением или перекристаллизацией. Получение соединений (VIa)–(VIb) описано в работе [4].

Метиловый эфир 3-O-[3,4,6-три-O-ацетил-2-дезокси-2-иод- α -D-маннопиранозил]-18 β -глицирретовой кислоты (IVa). По методике А из 0.54 г три-O-ацетил-D-глюкаля (I) и 0.97 г метилового эфира 18 β -GIA (IIIa) получили 1.95 г неочищенного продукта, который хроматографировали, элюируя смесью пентан – этилацетат, 7: 1, 5 : 1, 3 : 1, 2 : 1, 1 : 1. Смесью 3 : 1 → 2 : 1 вымыли 1.42 г (80.4%) гликозида (IVa). Мелкокристаллический порошок. R_f 0.67 (A); 0.71 (B); 0.69 (B); [α]_D²⁰ +82° (c 0.03, CHCl₃); т. пл. 205–207°C. УФ-спектр, λ_{max}^{MeOH} (lg ε): 248.2 нм (3.59). Найдено, %: C 58.6; H 7.6; I 14.1. C₄₃H₆₃O₁₁I. Вычислено, %: C 58.5; H 7.2; I 14.4. Спектры ¹H- и ¹³C-ЯМР см. [4, 5].

Метиловый эфир 3-O-[3,4,6-три-O-ацетил-2-дезокси-2-иод- α -D-маннопиранозил]-11-дезоксо-18 β -глицирретовой кислоты (IVb). По методике А из 0.54 г три-O-ацетил-D-глюкаля (I) и 0.94 г метилового эфира 11-дезоксо-18 β -GIA (IIIb) получили 1.90 г неочищенного продукта, который хроматографировали, элюируя последовательно хлороформом и смесями хлороформ – метанол, 200 : 1, 150 : 1, 100 : 1, 50 : 1. Смесями 150 : 1 → 100 : 1 вымыли 1.41 г (81.3%) гликозида, который кристаллизовали из диоксана. R_f 0.68 (A); 0.69 (B); [α]_D²⁰ +75° (c 0.02, CHCl₃); т. пл. 229–231°C. Найдено, %: C 60.9; H 7.4; I 14.4. C₄₃H₆₅O₁₀I. Вычислено, %: C 60.4; H 7.7; I 14.8. Спектры ¹H- и ¹³C-ЯМР см. [4, 5].

3-O-[3,4,6-Три-O-ацетил-2-дезокси-2-иод- α -D-маннопиранозил]-19 β ,28-эпокси-18 α -олеан-3 β -ол (IVb). По методике А из 0.54 г три-O-ацетил-D-глюкаля (I) и 0.89 г аллобетулина (IIIb) получили 1.83 г неочищенного продукта, после хроматографической очистки которого, описанной для соединения (IVb), выделили 1.24 г (74.2%) гликозида, который кристаллизовали из этанола. R_f 0.71 (A); 0.73 (B); [α]_D²⁰ +28° (c 0.04, CHCl₃); т. пл. 198–200°C. Найдено, %: C 60.4; H 7.4; I 14.7. C₄₂H₆₅O₉I. Вычислено, %: C 60.0; H 7.8; I 15.1. Спектры ¹H- и ¹³C-ЯМР см. [4, 5].

Метиловый эфир 3-O-[3,4,6-три-O-ацетил-2-дезокси- α -D-арабино-гексопиранозил]-18 β -глицирретовой кислоты (Va). Спектры ¹H- и ¹³C-ЯМР, ИК, УФ см. [4]. [α]_D²⁰ +87° (c 0.04, CHCl₃); т. разл. 216–218°C, выход 93%.

Метиловый эфир 3-O-[3,4,6-три-O-ацетил-2-дезокси- α -D-арабино-гексопиранозил]-11-дезоксо-18 β -глицирретовой кислоты (Vb). Спектры ¹H- и ¹³C-ЯМР, ИК см. [4], [α]_D²⁰ +78° (c 0.04, CHCl₃); т. пл. 224–226°C, выход 92.5%.

3-O-[3,4,6-Три-O-ацетил-2-дезокси- α -D-арабино-гексопиранозил]-19 β ,28-эпокси-18 α -олеан-3 β -ол (Vb). Спектры ¹H- и ¹³C-ЯМР, ИК см. [4]. [α]_D²⁰ +20° (c 0.07, CHCl₃); т. пл. 189–191°C, выход 89%.

Метиловый эфир 3-O-[2-дезокси- α -D-арабино-гексопиранозил]-18 β -глицирретовой кислоты (VIa). Спектры ¹³C-ЯМР, ИК см. [4]. [α]_D²⁰ +97° (c 0.02, CHCl₃); т. разл. 212–213°C. УФ-спектр, λ_{max}^{MeOH} (lg ε): 248.0 нм (3.81), выход 87%.

Метиловый эфир 3-O-[2-дезокси- α -D-арабино-гексопиранозил]-11-дезоксо-18 β -глицирретовой кислоты (VIb). Спектры ¹³C-ЯМР, ИК см. [4]. [α]_D²⁰ +85° (c 0.04, CHCl₃); т. пл. 213–215°C, выход 88.4%.

3-O-[2-Дезокси- α -D-арабино-гексопиранозил]-19 β ,28-эпокси-18 α -олеан-3 β -ол (VIb). Спектры ¹³C-ЯМР, ИК см. [4]. [α]_D²⁰ +15° (c 0.05, CHCl₃); т. пл. 202–204°C, выход 86.3%.

Метиловый эфир 3-O-[3,4,6-три-O-ацетил-2-дезокси-2-иод- α -D-таларапиранозил]-18 β -глицирретовой кислоты (VIIa). По методике А из 0.54 г три-O-ацетил-D-галактала (II) и 0.97 г метилового эфира 18 β -GIA (IIIa) получили 1.98 г неочищенного продукта, из которого после хроматографической очистки, описанной для соединения (IVa), выделили 1.39 г (79.4%) аморфного вещества (VIIa). R_f 0.67 (A); 0.73 (B); 0.72 (B); [α]_D²⁰ +78° (c 0.07; CHCl₃). УФ-спектр, λ_{max}^{MeOH} (lg ε): 248.2 нм

(3.59). Найдено, %: C 58.8; H 7.5; I 14.0. $C_{43}H_{63}O_{11}I$. Вычислено, %: C 58.5; H 7.2; I 14.4. Спектр ^{13}C -ЯМР: 22.3 (C2), 84.4 (C3), 38.8 (C4), 61.9 (C9), 37.1 (C10), 200.1 (C11), 128.6 (C12), 169.3 (C13), 45.5 (C14), 48.4 (C18), 44.1 (C20), 177.0 (C30), 51.8 (C31), 99.8 (C1'), 22.8 (C2'), 65.5 (C3'), 65.5 (C4'), 67.2 (C5'), 62.2 (C6'), 170.2, 170.5, 170.6 (OCOCH_3), 20.8, 20.9, 22.0 (OCOCH_3). Спектр ^1H -ЯМР: 0.80, 0.82, 1.00, 1.14, 1.35, 1.65 (с, 7CH_3), 1.30–2.00 (м, CH_2 , CH), 2.03, 2.06, 2.17 (с, 3Ac), 2.31 (с, 1H, H9), 2.85 (д, 1H, H18, J 13.8), 3.23 (дд, 1H, H3, $J_{3,2e}$ 4.5, $J_{3,2a}$ 11.3), 3.68 (с, 3H, OCH_3), 4.16 (д, 2H, H6', $J_{6,5'}$ 6.4), 4.21 (д, 1H, H2', $J_{2,3'}$ 4.6), 4.39 (т, 1H, H5', J 6.4), 4.89 (т, 1H, H3', J 4.6), 5.29 (уш. с, 1H, H4'), 5.47 (уш. с, 1H, H1'), 5.66 (с, 1H, H12).

Метиловый эфир 3-O-[3,4,6-три-O-ацетил-2-дезокси-2-иод- α -D-талопиранозил]-11-дезоксо-18 β -глицирретовой кислоты (VIIб). По методике А из 0.54 г три-O-ацетил-D-галакталя (II) и 0.94 г метилового эфира 11-дезоксо-18 β -ГИА (IIIб) получили 1.92 г неочищенного продукта; после его хроматографической очистки и кристаллизации, описанной для соединения (IVб), выделили 1.35 г (77.8%) гликозида (VIIб). R_f 0.69 (A); 0.71 (B); $[\alpha]_D^{20} +80^\circ$ (с 0.06; CHCl_3); т. пл. 205–207°C. Найдено, %: C 60.8; H 7.3; I 14.3. $C_{43}H_{65}O_{10}I$. Вычислено, %: C 60.4; H 7.7; I 14.8. Спектр ^{13}C -ЯМР: 22.3 (C2), 84.6 (C3), 38.5 (C4), 48.3 (C9), 36.9 (C10), 23.3 (C11), 122.6 (C12), 144.5 (C13), 41.6 (C14), 47.8 (C18), 44.4 (C20), 176.8 (C30), 51.6 (C31), 99.8 (C1'), 22.9 (C2'), 65.5 (C3'), 65.6 (C4'), 67.2 (C5'), 62.3 (C6'), 169.6, 170.2, 170.5 (OCOCH_3), 20.8, 21.0, 21.1 (OCOCH_3). Спектр ^1H -ЯМР: 0.77, 0.81, 0.95, 0.96, 1.00, 1.12, 1.55 (с, 7CH_3), 1.20–2.00 (м, CH_2 , CH), 1.99, 2.04, 2.14 (с, 3Ac), 3.23 (дд, 1H, H3, $J_{3,2e}$ 4.0, $J_{3,2a}$ 11.5), 3.68 (с, 3H, OCH_3), 4.17 (д, 2H, H6', $J_{6,5'}$ 6.4), 4.22 (д, 1H, H2', $J_{2,3'}$ 4.7), 4.41 (т, 1H, H5', J 6.4), 4.89 (т, 1H, H3', J 4.7), 5.27 (уш. с, 1H, H12), 5.40 (уш. с, 1H, H4'), 5.48 (уш. с, 1H, H1').

3-O-[3,4,6-Три-O-ацетил-2-дезокси-2-иод- α -D-талопиранозил]-19 β ,28-эпокси-18 α -олеан-3 β -ол (VIIв). По методике А из 0.54 г три-O-ацетил-D-галакталя (II) и 0.89 г аллобетулина (IIIв) получили 1.81 г сырого продукта, который после хроматографической очистки, описанной для соединения (IVб), и кристаллизации из этанола дал 1.22 г (72.9%) гликозида (VIIв). R_f 0.70 (A); 0.72 (B); $[\alpha]_D^{20} +24^\circ$ (с 0.08; CHCl_3); т. пл. 233–234°C. Найдено, %: C 60.4; H 7.3; I 14.6. $C_{42}H_{65}O_9I$. Вычислено, %: C 60.0; H 7.8; I 15.1. Спектр ^{13}C -ЯМР: 22.5 (C2), 84.5 (C3), 39.0 (C4), 51.2 (C9), 37.2 (C10), 21.1 (C11), 26.3 (C12), 36.8 (C13), 41.5 (C14), 46.9 (C18), 88.0 (C19), 36.3 (C20), 71.3 (C28), 99.8 (C1'), 22.9 (C2'), 65.5 (C3'), 65.6 (C4'), 67.1 (C5'), 62.3 (C6'), 169.7, 170.2, 170.6 (OCOCH_3), 20.8, 21.9, 21.0 (OCOCH_3).

(OCOCH_3). Спектр ^1H -ЯМР: 0.77, 0.79, 0.84, 0.89, 0.92, 0.97 (с, 7CH_3), 1.00–2.05 (м, CH_2 , CH), 2.05, 2.06, 2.17 (с, 9H, 3Ac), 3.19–3.23 (м, 1H, H3), 3.43 (д, 1H, H_a 28, J 7.7), 3.51 (с, 1H, H19), 3.76 (д, 1H, H_b 28, J 7.7), 4.16 (д, 2H, H6', $J_{6,5'}$ 6.5), 4.21 (д, 1H, H2', $J_{2,3'}$ 4.4), 4.40 (т, 1H, H5', J 6.5), 4.88 (т, 1H, H3', J 4.4), 5.30 (уш. с, 1H, H4'), 5.40 (уш. с, 1H, H1').

Метиловый эфир 3-O-[3,4,6-три-O-ацетил-2-дезокси- α -D-ликсо-гексопиранозил]-18 β -глицирретовой кислоты (VIIa). 1.0 г гликозида (VIIa) в 35 мл метанола гидрировали 8 сут по методике Б. После переосаждения продукта реакции из хлороформного раствора гексаном получили 0.76 г (90.2%) гликозида (VIIa) белого цвета. R_f 0.67 (A); 0.74 (B); $[\alpha]_D^{20} +82^\circ$ (с 0.07, CHCl_3); т. разл. 238–240°C. ИК-спектр, ν , cm^{-1} : 1760–1750 (OAc), 1730–1720 (COOCH_3), 1660 (-C11=O). УФ-спектр, $\lambda_{\text{max}}^{\text{MeOH}}$ (lg ε): 248.2 нм (3.66). Найдено, %: C 67.9; H 8.9. $C_{43}H_{64}O_{11}$. Вычислено, %: C 68.2; H 8.5. Спектр ^{13}C -ЯМР: 21.8 (C2), 82.6 (C3), 38.7 (C4), 61.9 (C9), 37.0 (C10), 200.3 (C11), 128.6 (C12), 169.4 (C13), 45.5 (C14), 48.5 (C18), 177.0 (C30), 51.8 (C31), 93.6 (C1'), 30.7 (C2'), 66.5 (C3'), 66.8 (C4'), 67.0 (C5'), 62.6 (C6'), 170.2, 170.4, 170.6 (OCOCH_3), 20.8, 20.9, 21.0 (OCOCH_3). Спектр ^1H -ЯМР: 0.80, 0.82, 1.01, 1.13, 1.16, 1.35 (с, 7CH_3), 1.25–2.30 (м, CH_2 , CH агликона, H2'), 1.99, 2.04, 2.14 (с, 3Ac), 2.31 (с, 1H, H9), 2.83 (д, 1H, H18, J 13.6), 3.20 (дд, 1H, H3, $J_{3,2e}$ 4.5, $J_{3,2a}$ 11.3), 3.69 (с, 3H, OCH_3), 4.07–4.12 (м, 2H, H6'), 4.27 (т, 1H, H5', J 6.3), 5.17 (уш. с, 1H, H1'), 5.22–5.33 (м, 1H, H3'), 5.36 (уш. с, 1H, H4'), 5.66 (с, 1H, H12).

Метиловый эфир 3-O-[3,4,6-три-O-ацетил-2-дезокси- α -D-ликсо-гексопиранозил]-11-дезоксо-18 β -глицирретовой кислоты (VIIб). 0.9 г гликозида (VIIб) в 35 мл этилацетата гидрировали 10 сут по методике Б. После перекристаллизации из диоксана получили 0.72 г (93.5%) бесцветных кристаллов гликозида (VIIб). R_f 0.67 (A); $[\alpha]_D^{20} +76^\circ$ (с 0.03, CHCl_3); т. пл. 199–201°C. ИК-спектр, ν , cm^{-1} : 1760–1750 (OAc), 1730–1720 (COOCH_3). Найдено, %: C 69.2; H 9.3. $C_{43}H_{66}O_{10}$. Вычислено, %: C 69.5; H 9.0. Спектр ^{13}C -ЯМР: 21.8 (C2), 82.9 (C3), 38.9 (C4), 48.2 (C9), 36.9 (C10), 23.5 (C11), 122.5 (C12), 144.4 (C13), 41.8 (C14), 47.6 (C18), 177.7 (C30), 51.6 (C31), 93.2 (C1'), 30.7 (C2'), 66.5 (C3'), 66.9 (C4'), 67.0 (C5'), 62.5 (C6'), 169.8, 170.2, 170.8 (OCOCH_3), 20.8, 21.9, 21.1 (OCOCH_3). Спектр ^1H -ЯМР: 0.77, 0.81, 0.89, 0.95, 0.96, 1.00, 1.12 (с, 7CH_3), 1.15–2.00 (м, CH_2 , CH агликона, H2'), 1.99, 2.05, 2.17 (с, 3Ac), 3.20 (дд, 1H, H3, $J_{3,2e}$ 4.0, $J_{3,2a}$ 11.0), 3.68 (с, 3H, OCH_3), 4.02–4.15 (м, 2H, H6'), 4.28 (т, 1H, H5', J 6.3), 5.18 (уш. с, 1H, H1').

5.21–5.30 (м, 1H, H3'), 5.27 (уш. с, 1H, H12), 5.35 (уш. с, 1H, H4').

3-O-[3,4,6-Три-O-ацетил-2-дезокси- α -D-ликсогексопиранозил]-19 β ,28-эпокси-18 α -олеан-3 β -ол (VIII ν). 0.45 г гликозида (VIII ν) в 20 мл этанола гидрировали 9 сут по методике Б. После перекристаллизации из этанола получили 0.34 г (90.2%) кристаллов гликозида (VIII ν) желтого цвета. R_f 0.69 (A); $[\alpha]_D^{20}$ +15° (с 0.07, CHCl₃); т. пл. 216–218°C. ИК-спектр, ν, см⁻¹: 1760–1750 (OAc). Найдено, %: C 70.2; H 9.5. C₄₂H₆₆O₉. Вычислено, %: C 70.5; H 9.3. Спектр ¹³C-ЯМР: 22.2 (C2), 83.4 (C3), 38.9 (C4), 51.2 (C9), 37.4 (C10), 21.2 (C11), 26.4 (C12), 36.9 (C13), 41.6 (C14), 47.0 (C18), 88.1 (C19), 71.4 (C28), 93.7 (C1'), 30.9 (C2'), 66.6 (C3'), 66.8 (C4'), 67.2 (C5'), 62.6 (C6'), 169.6, 170.1, 170.6 (OCOCH₃), 20.8, 21.9, 21.0 (OCOCH₃). Спектр ¹H-ЯМР: 0.77, 0.78, 0.86, 0.91, 0.93, 0.97 (с, 7CH₃), 1.00–2.10 (м, CH₂, CH агликона, H2'), 2.05, 2.06, 2.08 (с, 9H, 3Ac), 3.16–3.22 (м, 1H, H3), 3.44 (д, 1H, H_a 28, J 7.8), 3.52 (с, 1H, H19), 3.78 (д, 1H, H_b 28, J 7.8), 4.05–4.18 (м, 2H, H6'), 4.25 (т, 1H, H5', J 6.8), 5.20 (уш. с, 1H, H1'), 5.21–5.30 (м, 1H, H3'), 5.36 (уш. с, 1H, H4').

Метиловый эфир 3-O-[2-дезокси- α -D-ликсогексопиранозил]-18 β -глицирретовой кислоты (IX α). 1.0 г гликозида (VIII α) дезацетилировали в 200 мл метанола и 30 мл 5% раствора KOH в метаноле по методике В. Остаток переосадили из хлороформного раствора петролейным эфиром и получили 0.74 г (87.2%) бесцветных кристаллов гликозида (IX α). R_f 0.37 (A); $[\alpha]_D^{20}$ +85° (с 0.02, CHCl₃; т. разл. 227–229°C. ИК-спектр, ν, см⁻¹: 3600–3200 (OH), 1730–1720 (COOCH₃), 1660 (-C11=O).

УФ-спектр, $\lambda_{\text{max}}^{\text{MeOH}}$ (lg ε): 246.4 нм (3.89). Найдено, %: C 69.9; H 8.9. C₃₇H₅₈O₈. Вычислено, %: C 70.4; H 9.3. Спектр ¹³C-ЯМР: 21.7 (C2), 81.8 (C3), 38.8 (C4), 61.9 (C9), 37.1 (C10), 200.3 (C11), 128.6 (C12), 169.4 (C13), 45.5 (C14), 48.5 (C18), 177.0 (C30), 51.8 (C31), 93.6 (C1'), 33.3 (C2'), 65.8 (C3'), 69.6 (C4'), 70.2 (C5'), 64.3 (C6').

Метиловый эфир 3-O-[2-дезокси- α -D-ликсогексопиранозил]-11-дезоксо-18 β -глицирретовой кислоты (IX β). 1.10 г гликозида (VIII β) дезацетилировали в 200 мл метанола и 30 мл 5% раствора KOH в метаноле по методике В. После перекристаллизации из диоксана получили 0.8 г (88%) бесцветных кристаллов гликозида (IX β). R_f 0.28 (A); $[\alpha]_D^{20}$ +86° (с 0.08, CHCl₃); т. пл. 190–192°C. ИК-спектр, ν, см⁻¹: 3600–3200 (OH), 1730–1720 (COOCH₃). Найдено, %: C 71.5; H 10.2. C₃₇H₆₀O₇. Вычислено, %: C 72.0; H 9.8. Спектр ¹³C-ЯМР: 21.8 (C2), 81.9 (C3), 38.4 (C4), 48.2 (C9), 36.9 (C10), 23.5

(C11), 122.6 (C12), 144.4 (C13), 41.6 (C14), 47.6 (C18), 177.8 (C30), 51.7 (C31), 93.5 (C1'), 33.6 (C2'), 66.7 (C3'), 69.5 (C4'), 70.2 (C5'), 64.9 (C6').

3-O-[2-Дезокси- α -D-ликсогексопиранозил]-19 β ,28-эпокси-18 α -олеан-3 β -ол (IX ν). 0.22 г гликозида (VIII ν) дезацетилировали в 50 мл метанола и 8 мл 5% раствора KOH в метаноле по методике В. После перекристаллизации из этанола получили 0.15 г (85.1%) кристаллов гликозида (IX ν) кремового цвета. R_f 0.32 (A); $[\alpha]_D^{20}$ +15° (с 0.05, CHCl₃); т. пл. 208–209°C. ИК-спектр, ν, см⁻¹: 3600–3200 (OH). Найдено, %: C 73.0; H 9.8. C₃₆H₆₀O₆. Вычислено, %: C 73.4; H 10.3. Спектр ¹³C-ЯМР: 21.7 (C2), 81.7 (C3), 38.9 (C4), 51.1 (C9), 37.2 (C10), 21.0 (C11), 26.3 (C12), 36.8 (C13), 41.5 (C14), 46.8 (C18), 88.0 (C19), 71.3 (C28), 93.4 (C1'), 34.9 (C2'), 65.8 (C3'), 69.4 (C4'), 70.3 (C5'), 64.2 (C6').

Противоязвенную активность тритерпеновых 2-дезоксигексопиранозидов (VI α), (IX α) изучали на половозрелых крысах массой 200–250 г на модели экспериментальных деструкций слизистой оболочки желудка, вызванных индометацином (внутрибрюшинно 20 мг/кг). Изучаемые соединения вводились животным через зонд в желудок в виде водной суспензии в дозе 100 мг/кг за 1 ч до воспроизведения язв желудка. Через 1 сут после воспроизведения деструкций животных забивали под эфирным наркозом, извлекали желудки и визуально подсчитывали число поражений слизистой оболочки. В качестве препарата сравнения использовали карбеноксолон в равной дозе. Результаты экспериментов подвергали статистической обработке, используя Т-критерий Стьюдента. Результаты опытов приведены в табл. 1.

Влияние тритерпеновых 2-дезоксигексопиранозидов (VI α), (IX α) на репаративную регенерацию кожи изучали на крысах на двух моделях кожных ран. В качестве препаратов сравнения использовали метилурацил и глицирризиновую кислоту. Послойные лоскутные раны воспроизводили на боковой поверхности тела крыс после удаления шерстяного покрова. На следующий день определяли среднюю площадь ран, делили животных на группы и начинали лечение 5% мазями препаратов на вазелине (ежедневная обработка). Результаты опытов после статистической обработки приведены в табл. 2.

В следующей серии опытов использовали модель химического ожога, который вызывали на боковой поверхности тела крыс 1–2 каплями концентрированной соляной кислоты. Через 1 сут определяли исходную площадь ожога и начинали лечение 5% мазями гликозидов (VI α), (IX α) на вазелине. Результаты опытов после статистической обработки приведены в табл. 3.

Работа выполнена при поддержке Российского фонда фундаментальных исследований (грант № 96-03-33240).

СПИСОК ЛИТЕРАТУРЫ

1. Schopke Th., Hiller K. // Pharmazie. 1990. Bd 45. S. 313–342.
2. Дардыков И.В. Женьшень, элеутерококк. М.: Наука, 1976. 184 с.
3. Балтина Л.А., Флехтер О.Б., Васильева Е.В., Толстиков Г.А. // Изв. АН. Сер. хим. 1995. С. 2061–2062.
4. Балтина Л.А., Флехтер О.Б., Васильева Е.В., Толстиков Г.А. // Изв. АН. Сер. хим. 1996. С. 2340–2346.
5. Baltina L.A., Flekhter O.B., Vasil'eva E.V. // Mendeleev Commun. 1996. V. 2. P. 63–64.
6. Friesen R.W., Danishefsky S.J. // J. Am. Chem. Soc. 1989. V. 111. P. 6656–6660.
7. Finney R.S., Tarnoky A.L. // J. Pharm. Pharmacol. 1960. V. 12. P. 49–58.
8. Машковский М.Д. Лекарственные средства. М.: Медицина, 1993. Ч. II. С. 161–162.
9. Roth W., Pigman W. // Methods Carbohydr. Chem. 1963. V. 2. P. 405–410.
10. Балтина Л.А., Флехтер О.Б., Путиева Ж.М., Кондратенко Р.М., Краснова Л.В., Толстиков Г.А. // Хим.-фармацевт. журн. 1996. С. 47–49.
11. Патент 5970638. Япония // Deoxoglycyrrhetic acid. 1984. С. А.; V. 101. № 171562t.
12. Lugemwa F.N., Huang F.-Y., Bently M.D., Mendel M.J., Alford A.R. // J. Agric. Food. Chem. 1990. P. 493–496.
13. Lemieux R.U., Morgan A.R. // Can. J. Chem. 1965. V. 43. P. 2190–2198.

The Synthesis of Triterpene 2-Deoxy- α -D-Hexopyranosides from Glycals and Their Effect on Reparative Processes

L. A. Baltina, O. B. Flekhter, E. V. Vasil'eva, V. A. Davydova,
A. F. Ismagilova, F. S. Zarudii, and G. A. Tolstikov

Institute of Organic Chemistry, Ufa Scientific Center, Russian Academy of Sciences, pr. Oktyabrya 71, Ufa, 450054 Russia

Received July 10, 1996; in final form, December 16, 1996

Abstract—Triterpene 2-deoxy- α -D-hexopyranosides were synthesized by the glycosylation of oleanane triterpene alcohols with D-glucal and D-galactal acetates in the presence of di(sym-collidine)iodonium perchlorate with subsequent deiodination and deacetylation of the resulting 2-deoxy-2-iodo- α -D-glycosides. 2-Deoxy- α -D-arabino- and -lyxo-hexopyranosides of methyl glycyrrhetinate demonstrated pronounced antiulcer activity and stimulated reparative skin regeneration in rats more effectively than glycyrrhizic acid and methyluracil.

Key words: triterpene 2-deoxy- α -D-hexopyranosides, synthesis, di(sym-collidine)iodonium perchlorate, antiulcer activity, reparative skin regeneration.